

三分 Sierpinski 垫上的 Cauchy 变换 所涉及的辅助函数的一些性质

王松然 董新汉

湖南师范大学数学与计算机科学学院 长沙 410081
E-mail: srwang168@163.com; xhdong@hunnu.edu.cn

摘要 三分 Sierpinski 垫上的 $\alpha (= 1 + \frac{\log 2}{\log 3})$ 维 Hausdorff 测度的 Cauchy 变换 $F(z)$ 和二分的情形一样, 表现出一些不平常的几何性质. 本文考虑联系到 $F(z)$ 的几个辅助函数, 利用 Laplace 变换和 Dong X. H. 和 Lau K. S. (2003) 中的结果, 得到了它们的一些重要性质. 这些性质对研究 $F(z)$ 的几何性质和渐近性质起关键作用.

关键词 三分 Sierpinski 垫; Hausdorff 测度; Cauchy 变换

MR(2000) 主题分类 28A80, 30C55, 30E20

中图分类 O174.56

Some Properties of Auxiliary Functions Related to the Cauchy Transform on the 3-level Sierpinski Gasket

Song Ran WANG Xin Han DONG

*School of Mathematics and Computer Science, Hunan Normal University,
Changsha 410081, P. R. China*

E-mail: srwang168@163.com; xhdong@hunnu.edu.cn

Abstract The Cauchy transform $F(z)$ of α -Hausdorff measure restricted on 3-level Sierpinski gasket with $\alpha = 1 + \frac{\log 2}{\log 3}$, similarly to the case on Sierpinski gasket, presents some unusual geometric behavior. In this paper, we consider some auxiliary functions related to $F(z)$ and get some their of important properties by making use of Laplace transform and the results in Dong X. H. and Lau K. S. (2003). These properties play a key role in the study of the geometric and asymptotic behavior of $F(z)$.

Keywords 3-level Sierpinski gasket; Hausdorff measure; Cauchy transform

MR(2000) Subject Classification 28A80, 30C55, 30E20

Chinese Library Classification O174.56

1 引言及命题

分形几何是数学领域的一个崭新分支, 非线性科学三大理论前沿之一^[1]. 它是由 Mandelbrot 在 1975 年提出的, 随即便引起了学者们的广泛关注与研究. 至今分形几何已渗透到了自然科学与社会科学的各个领域, 并得到了广泛的应用. 分形集上的调和分析早在十多年前就开始兴起,

收稿日期: 2005-09-29; 接受日期: 2006-09-15

基金项目: 国家自然科学基金资助项目 (10571049); 湖南省自然科学基金资助项目 (05JJ30011)

并业已取得丰硕成果^[2-6], 而分形集上的复分析在 1998 年才由美国康乃尔大学的著名数学家 Strichartz 等人开始探讨^[7]. 他们主要是通过计算机模拟发现了 Sierpinski 垫上的 Cauchy 变换的一些怪现象, 提出了几个猜想(见文[7]). 最近几年, Dong 与 Lau 对分形集上的复分析进行了系统的研究并取得了一些有趣的结果(见文[8-9]). 最近, 我们考察了三分 Sierpinski 垫(如图 1)

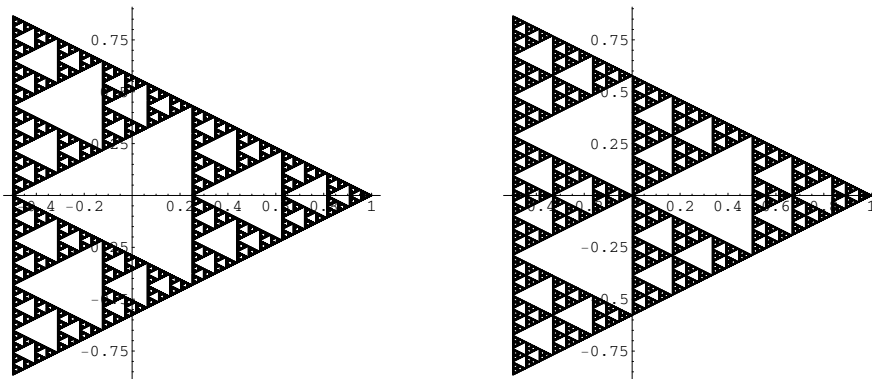


图 1 Sierpinski 垫与三分 Sierpinski 垫

上的 $\alpha (= 1 + \frac{\log 2}{\log 3})$ 维 Hausdorff 测度的 Cauchy 变换 F , 发现和二分的情形一样, 表现出许多奇怪的几何性质. 本文就是为讨论这样的变换 F 作准备, 考虑有关辅助函数的某些性质. 借助于 Laplace 变换和文[9]中的结果, 得到了这些辅助函数的一些重要性质, 这些性质对研究 F 起关键作用. 我们研究的主要思想来自于文[8-10].

令 K 是复平面 \mathbb{C} 上的三分 Sierpinski 垫, 三个顶点分别为 $1, e^{2\pi i/3}, e^{4\pi i/3}$. K 是迭代函数系 $\{S_k\}_{k=0}^5$ 的吸引子, 其中

$$S_k z = \varepsilon_k + (z - \varepsilon_k)/3, \quad \varepsilon_k = \left(\frac{3}{4} + \frac{(-1)^k}{4}\right) e^{2k\pi i/6}, \quad k = 0, 1, \dots, 5.$$

由文[11, 定理 9.3] 可知 K 的 Hausdorff 维数为 $\alpha = 1 + \frac{\log 2}{\log 3} \approx 1.6309$. 假设 \mathcal{H}^α 是 K 上正规化的 α 维 Hausdorff 测度, 即满足 $\mathcal{H}^\alpha(K) = 1$. 定义 K 上 \mathcal{H}^α 的 Cauchy 变换 $F(z) = \int_K \frac{d\mathcal{H}^\alpha(\omega)}{z - \omega}$. 设 $T = 1 - K$, $T_j = 1 - K_j$, 其中 $K_j = S_j K$, $j = 0, 1, \dots, 5$, 则 T 的顶点为 $0, \sqrt{3}e^{\pi i/6}, \sqrt{3}e^{-\pi i/6}$. 令 $A_0 = \bigcup_{n=-\infty}^{\infty} (3^n \bigcup_{i=1}^5 T_i)$. 它是由 T 生成的三分 Sierpinski 角(如图 2). 易知 $T = \{z : z \in A_0 \text{ 且 } \operatorname{Re} z \leq 3/2\}$.

我们把测度 \mathcal{H}^α 扩展到 \mathbb{C} 上, 然后用 μ 表示扩展后的测度, 则易知 μ 是 α 维 Hausdorff 测度的一常数倍, 并且有 $\mu|_K = \mathcal{H}^\alpha$ 与 $\mu(T) = 1$. 由文[11]中 Hausdorff 测度的基本性质知 μ 具有旋转不变性和性质 $\mu(3^n E) = 3^{\alpha n} \mu(E)$, $n \in \mathbb{Z}$. 为了研究 F 的渐近性质, 需要辅助函数 $H_k^\alpha(z) = \int_{A_k} \frac{d\mu(\omega)}{(z - \omega)^2}$, $0 \leq k \leq 5$, 其中 $A_k = e^{k\pi i/3} A_0$.

本文主要研究了 $H_k^\alpha(z)$ 的一些性质, 得到了如下定理:

定理 1.1 (i) $H_0^\alpha(z)$ 在 $\pi/6 < \arg z < 11\pi/6$ 上解析, 并且有

$$H_0^\alpha(z) = \sum_{n \in \mathbb{Z}} 3^{(\alpha-2)n} \int_{\bigcup_{i=1}^5 T_i} \frac{d\mu(\omega)}{(3^{-n}z - \omega)^2}.$$

(ii) 设 $D_k = \{z : \pi/6 + k\pi/3 < \arg z < 11\pi/6 + k\pi/3\}$, 则有 $H_k^\alpha(z) = e^{-2k\pi i/3} H_0^\alpha(e^{-k\pi i/3} z)$ 和 $H_k^\alpha(3z) = 3^{\alpha-2} H_k^\alpha(z)$, $z \in D_k$, $0 \leq k \leq 5$.

为了研究 F 在 K 附近的分析性质和几何性质, 需要辅助函数

$$H_{1,5}^\alpha(z) = H_1^\alpha(z) + H_5^\alpha(z) = \int_{e^{\pi i/3} A_0 \cup e^{-\pi i/3} A_0} \frac{d\mu(\omega)}{(z - \omega)^2}$$

在负实轴上的保号性, 其中积分区域如图 3.

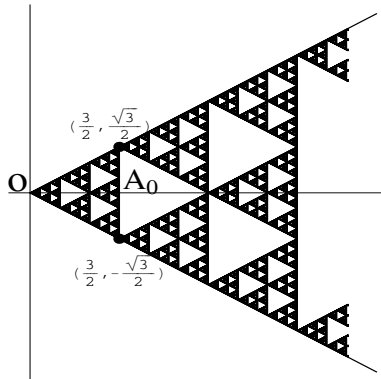


图 2 三分 Sierpinski 角 A_0

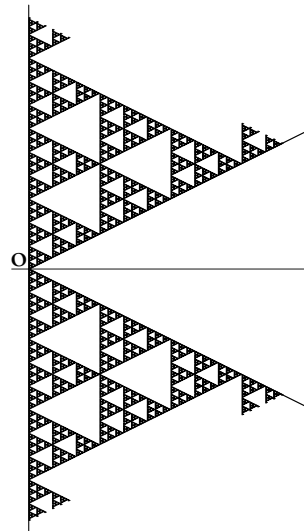


图 3 $H_{1,5}^\alpha$ 的积分区域 $e^{\pi i/3} A_0 \cup e^{-\pi i/3} A_0$

定理 1.2 当 $x < 0$ 时, $H_{1,5}^\alpha(x)$ 连续且 $H_{1,5}^\alpha(x) < 0$.

令 $T_3^+ = \{\omega : \omega \in T_3 \text{ 且 } \text{Im } \omega \geq 0\}$, 得到了函数 $H_k^\alpha(z)$ 的一个有趣的性质.

定理 1.3 若取 $z^{1-\alpha}$ 为主值分支, 即当 $z \in \mathbb{R}^+$ 时, $z^{1-\alpha}$ 取正实数, 则对 $\forall z_0 \in D_k$, 有 $\int_{z_0}^{3z_0} z^{1-\alpha} H_k^\alpha(z) dz = C e^{-\frac{\alpha k \pi i}{3} + \alpha \pi i}$, 其中积分路径是落在 D_k 中的连接 z_0 与 $3z_0$ 的光滑曲线,

$$C = \frac{2\pi(1-\alpha)}{\sin(\alpha\pi)} \int_{T_3^+ \cup T_4 \cup T_5} \frac{\cos(\alpha \arg \omega)}{|\omega|^\alpha} d\mu(\omega) \in (1.29085, 1.29175).$$

关于 C 的估计, 在证明 $F(z)$ 在 $|z| < 1$ 内的单叶性时要用到.

2 预备知识

令 $\Psi(t) = \int_{A_0} e^{-t\omega} d\mu(\omega)$, $t > 0$ 是 μ 在 A_0 上的 Laplace 变换. 由 $\mu(3E) = 6\mu(E)$ 及 A_0 的表达式易知

$$\Psi(t) = \sum_{n=-\infty}^{\infty} \frac{1}{6^n} \int_{\bigcup_{i=1}^5 T_i} e^{-t3^{-n}\omega} d\mu(\omega), \quad t > 0. \tag{1}$$

设 $\Phi_0(t)$ 由文 [9, (3.5) 式] 定义. 取文 [9] 中 (3.5) 式的 $j = 0$, K 是三分 Sierpinski 垫 K , 通过一变量替换得到 $\Phi_0(t) = t^\alpha \Psi(t)$. 由文 [9] 中的推论 3.5 和命题 3.4, 可以得到

$$\Psi(t) = \prod_{k=1}^{\infty} q(3^k t) \prod_{k=0}^{\infty} \frac{q(3^{-k} t)}{6}, \tag{2}$$

其中

$$q(t) = 1 + 2e^{-t/2} \cos\left(\frac{\sqrt{3}t}{6}\right) + 2e^{-t} \cos\left(\frac{\sqrt{3}t}{3}\right) + e^{-t}. \tag{3}$$

再由文 [9] 中的引理 3.3 可知, $\Phi_0(t)$ 在 \mathbb{R}^+ 上连续且 $\Phi_0(3t) = \Phi_0(t)$, 从而易知 $\Phi_0(t)$ 在 \mathbb{R}^+ 上有界. 记

$$M = \max_{1/3 \leq t \leq 1} \Phi_0(t) = \sup_{t \in \mathbb{R}^+} \Phi_0(t), \quad m = \min_{1/3 \leq t \leq 1} \Phi_0(t) = \inf_{t \in \mathbb{R}^+} \Phi_0(t). \quad (4)$$

引理 2.1 设 $C = 2(2\pi/\sqrt{3})^{2-\alpha}$, 则当 $x < 0$ 时, 有

$$(-x)^{2-\alpha} H_{1,5}^\alpha(x) = -C \int_0^{+\infty} \Phi_0\left(-\frac{2\pi t}{\sqrt{3}x}\right) t^{1-\alpha} e^{-\pi t/\sqrt{3}} \sin\left(\frac{\pi}{6} - \pi t\right) dt := -C\psi(x).$$

证明 固定 $x < 0$, 由 μ 的旋转不变性和 A_0 关于实轴的对称性, 可知

$$H_{1,5}^\alpha(x) = 2\operatorname{Re} \int_{A_0} \frac{d\mu(\omega)}{(x - \omega e^{\pi i/3})^2} = 2\operatorname{Re} \left(e^{-2\pi i/3} \int_{A_0} \frac{d\mu(\omega)}{(\omega - x e^{-\pi i/3})^2} \right). \quad (5)$$

利用分部积分法, 有

$$\begin{aligned} & \int_{A_0} \left(\int_0^{+\infty} |te^{-t(\omega - x e^{-\pi i/3})}| dt \right) d\mu(\omega) \\ &= \int_{A_0} \left(\int_0^{+\infty} te^{t(x/2 - \operatorname{Re} \omega)} dt \right) d\mu(\omega) = \int_{A_0} \left(\frac{1}{x/2 - \operatorname{Re} \omega} \int_0^{+\infty} tde^{t(x/2 - \operatorname{Re} \omega)} \right) d\mu(\omega) \\ &= \int_{A_0} \frac{1}{(\operatorname{Re} \omega - x/2)^2} d\mu(\omega) < +\infty. \end{aligned}$$

因此由 Fubini 定理, 可得

$$\int_0^{+\infty} \Psi(t) te^{txe^{-\pi i/3}} dt = \int_{A_0} \left(\int_0^{+\infty} te^{t(xe^{-\pi i/3} - \omega)} dt \right) d\mu(\omega) = \int_{A_0} \frac{d\mu(\omega)}{(\omega - x e^{-\pi i/3})^2},$$

从而由 (5) 式, 可知

$$\begin{aligned} H_{1,5}^\alpha(x) &= -2\operatorname{Re} \int_0^{+\infty} \Psi(t) te^{\pi i/3 + txe^{-\pi i/3}} dt = -2 \int_0^{+\infty} \Psi(t) te^{tx/2} \cos\left(\frac{\pi}{3} - \frac{\sqrt{3}tx}{2}\right) dt \\ &= -C(-x)^{\alpha-2} \int_0^{+\infty} \Phi_0\left(-\frac{2\pi t}{\sqrt{3}x}\right) t^{1-\alpha} e^{-\pi t/\sqrt{3}} \sin\left(\frac{\pi}{6} - \pi t\right) dt, \end{aligned}$$

其中 $C = 2(2\pi/\sqrt{3})^{2-\alpha}$. 引理得证.

引理 2.2 设 m 与 M 由 (4) 式定义, 则 $0.4858 < m < M < 0.4890$.

证明 设 $q(t)$ 由 (3) 式定义, 令

$$f(t) = t^\alpha \prod_{k=1}^3 q(3^k t) \prod_{k=0}^4 \frac{q(3^{-k} t)}{6}. \quad (6)$$

$f(t)$ 是一初等函数, 它在区间 $[1/3, 1]$ 上的函数图像如图 4 (见第 3 节). 利用 Matlab 的 “fminbnd” 命令可以得到函数 $f(t)$ 在区间 $[1/3, 1]$ 上的取值范围为

$$0.4880 < f(t) < 0.4905. \quad (7)$$

首先估计 $\prod_{k=4}^{\infty} q(3^k t)$. 由 (3) 式易知 $1 - 3e^{-t/2} \leq q(t) \leq 1 + 5e^{-t/2}$, 因此 $1 - 3e^{-3^k/6} \leq q(3^k t) \leq 1 + 5e^{-3^k/6}$, $1/3 \leq t \leq 1$. 令 $g(x) = \log(1 - 3e^{-x/6}) + d_1 x^{-5}$, $d_1 > 0$. 当 $x \geq 81$ 时, 有

$$g'(x) = \frac{1}{2(e^{x/6} - 3)} \left(1 - \frac{10d_1(e^{x/6} - 3)}{x^6} \right) \leq \frac{1}{2(e^{x/6} - 3)} \left(1 - \frac{10d_1(e^{27/2} - 3)}{81^6} \right).$$

取 $d_1 = 81^6 / (10 \cdot (e^{27/2} - 3))$, 则 $g'(x) \leq 0$, $x \geq 81$. 再由 $g(\infty) = 0$, 可得

$$-d_1 x^{-5} \leq \log(1 - 3e^{-x/6}), \quad x \geq 81.$$

同理可找到 $d_2 = 81^6 / (6 \cdot (e^{27/2} + 5))$, 使得 $\log(1 + 5e^{-x/6}) \leq d_2 x^{-5}$, $x \geq 81$. 由以上讨论, 可得

$$e^{-d'_1} = e^{-d_1 \sum_{k=4}^{\infty} 3^{-5k}} \leq \prod_{k=4}^{\infty} q(3^k t) \leq e^{d_2 \sum_{k=4}^{\infty} 3^{-5k}} = e^{d'_2}, \quad (8)$$

其中 $d'_i = d_i / (3^{15} \cdot (3^5 - 1))$, $i = 1, 2$.

下面估计 $\prod_{k=5}^{\infty} (q(3^{-k}t)/6)$. 注意到当 $0 \leq x \leq 1/243$ 时, 有

$$\frac{4}{\sqrt{3}} \cos\left(\frac{\pi}{6} - \frac{\sqrt{3}}{3}x\right) + \frac{2e^{x/2}}{\sqrt{3}} \cos\left(\frac{\pi}{6} - \frac{\sqrt{3}}{6}x\right) \geq 3,$$

所以取 $c = e^{-1/243}/3$, 可得

$$\begin{aligned} (6e^{-2cx} - q(x))' &= e^{-x} \left(1 - 12ce^{(1-2c)x} + \frac{4}{\sqrt{3}} \cos\left(\frac{\pi}{6} - \frac{\sqrt{3}}{3}x\right) + \frac{2e^{x/2}}{\sqrt{3}} \cos\left(\frac{\pi}{6} - \frac{\sqrt{3}}{6}x\right) \right) \\ &\geq 4e^{-x}(1 - 3ce^{(1-2c)x}) \geq 4e^{-x}(1 - 3ce^{(1-2c)/243}) \\ &> 4e^{-x}(1 - 3ce^{1/243}) = 0. \end{aligned}$$

又因为 $6 - q(0) = 0$, 所以有 $q(x) \leq 6e^{-2cx}$, $0 \leq x \leq 1/243$, 从而有

$$q(3^{-k}t) \leq 6e^{-2c/3^{k+1}}, \quad k \geq 5, \quad 1/3 \leq t \leq 1.$$

由文 [9, (5.10) 式], 有 $q(3^{-k}t) \geq 6e^{-2/3^{k+1}}$. 于是

$$6e^{-2/3^{k+1}} \leq q(3^{-k}t) \leq 6e^{-2c/3^{k+1}}, \quad k \geq 5, \quad 1/3 \leq t \leq 1,$$

从而

$$e^{-1/3^5} \leq \prod_{k=5}^{\infty} \frac{q(3^{-k}t)}{6} \leq e^{-c/3^5}. \quad (9)$$

结合 (2) 和 (6)-(9) 式, 通过 Matlab 计算可得

$$0.4858 < 0.4880e^{-d'_1-1/3^5} < \Phi_0(t) < 0.4905e^{d'_2-c/3^5} < 0.4890.$$

证毕.

引理 2.3 设 $\psi(x)$ 如引理 2.1 所示, m 和 M 由 (4) 式定义. 令

$$\beta = \int_0^{1/6} t^{1-\alpha} e^{-\pi t/\sqrt{3}} \sin\left(\frac{\pi}{6} - \pi t\right) dt, \quad \gamma = \int_{1/6}^{7/6} t^{1-\alpha} e^{-\pi t/\sqrt{3}} \sin\left(\pi t - \frac{\pi}{6}\right) dt,$$

则 $\psi(x) > m\beta - M\gamma$, $x < 0$.

证明 令 $t_n = t + n + 1/6$, $\lambda_n = \int_0^1 t_n^{1-\alpha} e^{-\pi t/\sqrt{3}} \sin(\pi t) dt$. 易知 $\lambda_n > \lambda_{n+1} > 0$. 当 $x < 0$ 时, 对 $\psi(x)$ 做一简单变量替换后, 有

$$\begin{aligned} \psi(x) &= \left(\int_0^{1/6} + \int_{1/6}^{7/6} \right) \Psi_0\left(-\frac{2\pi t}{\sqrt{3}x}\right) t^{1-\alpha} e^{-\pi t/\sqrt{3}} \sin\left(\frac{\pi}{6} - \pi t\right) dt \\ &\quad + e^{-\pi/(6\sqrt{3})} \sum_{n=1}^{\infty} (-1)^{n-1} e^{-n\pi/\sqrt{3}} \int_0^1 \Psi_0\left(-\frac{2\pi t_n}{\sqrt{3}x}\right) t_n^{1-\alpha} e^{-\pi t/\sqrt{3}} \sin(\pi t) dt \\ &> m\beta - M\gamma + (m - Me^{-\pi/\sqrt{3}}) e^{-\pi/(6\sqrt{3})} \sum_{k=1}^{\infty} e^{-(2k-1)\pi/\sqrt{3}} \lambda_{2k-1}. \end{aligned} \quad (10)$$

由引理 2.2 可知 $m - Me^{-\pi/\sqrt{3}} > 0$. 又因为正项级数 $\sum_{k=1}^{\infty} e^{-(2k-1)\pi/\sqrt{3}} \lambda_{2k-1}$ 收敛, 所以由 (10) 式有 $\psi(x) > m\beta - M\gamma$. 这正是要证明的.

3 定理的证明

定理 1.1 的证明 由变量替换及 μ 的性质, 有

$$H_0^\alpha(z) = \int_{A_0} \frac{d\mu(\omega)}{(z-\omega)^2} = \sum_{n \in \mathbb{Z}} \int_{3^n \cup_{i=1}^5 T_i} \frac{d\mu(\omega)}{(z-\omega)^2} = \sum_{n \in \mathbb{Z}} 3^{(\alpha-2)n} \int_{\cup_{i=1}^5 T_i} \frac{d\mu(\omega)}{(3^{-n}z-\omega)^2}.$$

令 E 是复平面 \mathbb{C} 上的任一紧集, 并且 $E \subset D_0 = \{\pi/6 < \arg z < 11\pi/6\}$. 易知存在自然数 N , 当 $n > N$ 时, 对 $\forall z \in E$, 有 $\text{dist}(3^{-n}z, \bigcup_{i=1}^5 T_i) > \frac{1}{2}\text{dist}(0, \bigcup_{i=1}^5 T_i) = \frac{\sqrt{3}}{6}$. 令 $d = \text{dist}(E, A_0) > 0$, 则对 $\forall z \in E$, 有

$$\begin{aligned} |H_0^\alpha(z)| &\leq \sum_{n \in \mathbb{Z}} 3^{(\alpha-2)n} \int_{\bigcup_{i=1}^5 T_i} \frac{d\mu(\omega)}{|3^{-n}z - \omega|^2} \\ &= \int_{\bigcup_{i=1}^5 T_i} \frac{d\mu(\omega)}{|z - \omega|^2} + \sum_{n=1}^N 3^{(\alpha-2)n} \int_{\bigcup_{i=1}^5 T_i} \frac{d\mu(\omega)}{|3^{-n}z - \omega|^2} \\ &\quad + \sum_{n=N+1}^{\infty} 3^{(\alpha-2)n} \int_{\bigcup_{i=1}^5 T_i} \frac{d\mu(\omega)}{|3^{-n}z - \omega|^2} + \sum_{n=1}^{\infty} 3^{-\alpha n} \int_{\bigcup_{i=1}^5 T_i} \frac{d\mu(\omega)}{|z - 3^{-n}\omega|^2} \\ &< \frac{5}{6d^2} \left(1 + \sum_{n=1}^{\infty} 3^{-\alpha n}\right) + \sum_{n=1}^N 3^{(\alpha-2)n} \int_{\bigcup_{i=1}^5 T_i} \frac{d\mu(\omega)}{|3^{-n}z - \omega|^2} + 10 \sum_{n=N+1}^{\infty} 3^{(\alpha-2)n} \\ &< C(E) < +\infty, \end{aligned}$$

其中 $C(E)$ 是依赖于 E 的常数. 上面的不等式说明 $H_0^\alpha(z)$ 在 D_0 的任一紧集上绝对一致收敛. 又因为 $H_0^\alpha(z)$ 的级数表示中的每一项都在 D_0 上解析, 所以 $H_0^\alpha(z)$ 在 D_0 上解析.

(ii) 由 $A_k = e^{k\pi i/3}A_0$, 利用变量替换及 μ 的性质易证得定理结论.

至此, 完成了整个定理的证明.

定理 1.2 的证明 由定理 1.1, 易知 $H_{1,5}^\alpha(z)$ 在左半平面解析, 从而 $H_{1,5}^\alpha(x)$ 当 $x < 0$ 时是连续的. 通过 Mathematica 计算得 $\beta > 0.4930$, $\gamma < 0.3115$. 结合引理 2.2 可知 $\psi(x) > m\beta - M\gamma > 0.0870$, 进而由引理 2.1 可知, 当 $x < 0$ 时, $H_{1,5}^\alpha(x) < 0$. 证毕.

定理 1.3 的证明 对 $\forall z_0 \in D_k$, 由柯西定理不妨设积分路径是连接 z_0 与 $3z_0$ 的直线段. 令 $z_0 = ae^{i\theta}$, $z = te^{i\theta}$, 则

$$\int_{z_0}^{3z_0} z^{1-\alpha} H_k^\alpha(z) dz = e^{i\theta(2-\alpha)} \int_a^{3a} t^{1-\alpha} H_k^\alpha(te^{i\theta}) dt. \tag{11}$$

由定理 1.1, 有

$$\begin{aligned} \int_a^{3a} t^{1-\alpha} H_k^\alpha(te^{i\theta}) dt &= e^{-\frac{2k\pi i}{3}} \int_a^{3a} t^{1-\alpha} H_0^\alpha(e^{-\frac{k\pi i}{3}} te^{i\theta}) dt \\ &= e^{-\frac{2k\pi i}{3}} \int_a^{3a} t^{1-\alpha} \left(\sum_{n \in \mathbb{Z}} 3^{(\alpha-2)n} \int_{\bigcup_{i=1}^5 T_i} \frac{d\mu(\omega)}{(3^{-n}te^{(\theta-\frac{k\pi}{3})i} - \omega)^2} \right) dt \\ &= e^{-\frac{2k\pi i}{3}} \sum_{n \in \mathbb{Z}} \int_{\bigcup_{i=1}^5 T_i} \left(\int_{3^{-n}a}^{3^{-n+1}a} \frac{y^{1-\alpha} dy}{(ye^{(\theta-\frac{k\pi}{3})i} - \omega)^2} \right) d\mu(\omega) \\ &= e^{-\frac{2k\pi i}{3}} \int_{\bigcup_{i=1}^5 T_i} \left(\int_0^{+\infty} \frac{y^{1-\alpha} dy}{(ye^{(\theta-\frac{k\pi}{3})i} - \omega)^2} \right) d\mu(\omega) \\ &= e^{-2\theta i} \int_{\bigcup_{i=1}^5 T_i} \left(\int_0^{+\infty} \frac{y^{1-\alpha} dy}{(y - \omega e^{(\frac{k\pi}{3}-\theta)i})^2} \right) d\mu(\omega). \end{aligned} \tag{12}$$

由文 [12, 159 页] 的留数定理, 有

$$\begin{aligned} \int_0^{+\infty} \frac{y^{1-\alpha} dy}{(y - \omega e^{(\frac{k\pi}{3}-\theta)i})^2} &= \frac{2\pi i}{1 - e^{-2\alpha\pi i}} \text{Res}_{z=\omega e^{(\frac{k\pi}{3}-\theta)i}} \frac{z^{1-\alpha}}{(z - \omega e^{(\frac{k\pi}{3}-\theta)i})^2} \\ &= \frac{\pi i(1-\alpha)e^{-\frac{\alpha k\pi i}{3} + \alpha\theta i}}{\omega^\alpha \sin(\alpha\pi)e^{(\frac{1}{2}-\alpha)\pi i}} = \frac{\pi(1-\alpha)e^{-\frac{\alpha k\pi i}{3} + \alpha\theta i + \alpha\pi i}}{\omega^\alpha \sin(\alpha\pi)}, \end{aligned}$$

代入 (12) 式, 得

$$\int_a^{3a} t^{1-\alpha} H_k^\alpha(te^{i\theta}) dt = \frac{\pi(1-\alpha)e^{-\frac{\alpha k\pi i}{3}+(\alpha-2)\theta i+\alpha\pi i}}{\sin(\alpha\pi)} \int_{\bigcup_{i=1}^5 T_i} \omega^{-\alpha} d\mu(\omega). \quad (13)$$

又因为 $\bigcup_{i=1}^5 T_i$ 自身关于实轴对称, 所以

$$\int_{\bigcup_{i=1}^5 T_i} \omega^{-\alpha} d\mu(\omega) = 2\operatorname{Re} \int_{T_3^+ \cup T_4 \cup T_5} \omega^{-\alpha} d\mu(\omega) = 2 \int_{T_3^+ \cup T_4 \cup T_5} \frac{\cos(\alpha \arg \omega)}{|\omega|^\alpha} d\mu(\omega). \quad (14)$$

结合 (11), (13) 和 (14) 式, 得

$$\int_a^{3a} t^{1-\alpha} H_k^\alpha(te^{i\theta}) dt = C e^{-\frac{\alpha k\pi i}{3}+\alpha\pi i},$$

这里

$$C = \frac{2\pi(1-\alpha)}{\sin(\alpha\pi)} \int_{T_3^+ \cup T_4 \cup T_5} \frac{\cos(\alpha \arg \omega)}{|\omega|^\alpha} d\mu(\omega). \quad (15)$$

下面估计常数 C 的大小. 首先估计 $\int_{T_5} |\omega|^{-\alpha} \cos(\alpha \arg \omega) d\mu(\omega)$. 取迭代函数系 $\sigma_j z = z_j + (z - z_j)/3$, $j = 1, \dots, 6$, 其中 $z_1 = 1$, $z_2 = 1 + i\sqrt{3}/6$, $z_3 = 1 + i\sqrt{3}/3$, $z_4 = 3/4 + i\sqrt{3}/4$, $z_5 = 1/2 + i\sqrt{3}/6$, $z_6 = 3/4 + i\sqrt{3}/12$. 易知 T_5 是迭代函数系 $\{\sigma_j\}_{j=1}^6$ 的吸引子, 且 $T_5 = \bigcup_{j=1}^6 \sigma_j(T_5)$.

令 $\Lambda = \{J = (j_1, \dots, j_k) : j_s \in \{1, \dots, 6\}, s = 1, \dots, k\}$, $\sigma_J = \sigma_{j_1} \circ \dots \circ \sigma_{j_k}$, $|J| = k$ 表示 J 的长度, $k \in \mathbb{N}^+$. 由简单的迭代关系易有 $T_5 = \bigcup_{j=1}^6 \sigma_j(T_5) = \bigcup_{|J|=k} \sigma_J(T_5)$. 对任一 $J \in \Lambda$, 令 τ_J 是包含 $\sigma_J(T_5)$ 的最小正三角形区域的重心 (如图 5).

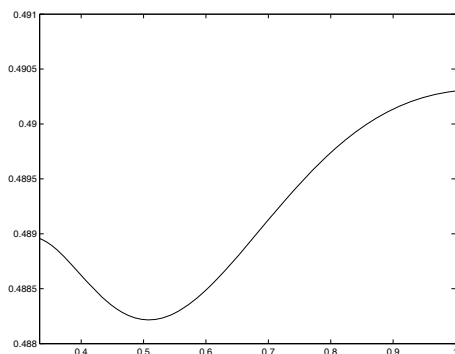


图 4 $f(t)$ 在区间 $[1/3, 1]$ 上的函数图像

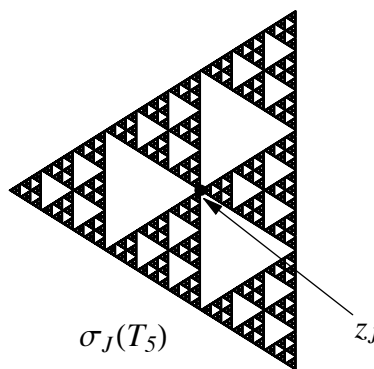


图 5 正三角形区域 $\sigma_J(T_5)$

易知 $\tau_J = \sigma_J(\sigma_2 z_5)$, 并且当 $\omega \in \sigma_J(T_5)$ 时, $|\omega - \tau_J| \leq 3^{-k-1}$. 记 $z_n = a_n + ib_n$, $n = 1, 2, \dots, 6$. 由 z_n 的定义, 易知 $a_1 = a_2 = a_3 = 1$, $a_4 = a_6 = 3/4$, $a_5 = 1/2$, $b_1 = 0$, $b_2 = b_5 = \sqrt{3}/6$, $b_3 = \sqrt{3}/3$, $b_4 = \sqrt{3}/4$, $b_6 = \sqrt{3}/12$. 注意到 $J \in \Lambda$, 由 σ_j 的定义可得

$$\begin{aligned} \tau_J &= \sigma_J(\sigma_2 z_5) = \sigma_J\left(\frac{2}{3}z_2 + \frac{1}{3}z_5\right) = 2 \sum_{s=1}^k \left(\frac{1}{3}\right)^s z_{j_s} + \left(\frac{1}{3}\right)^k \left(\frac{2}{3}z_2 + \frac{1}{3}z_5\right) \\ &= 2 \sum_{s=1}^k \left(\frac{1}{3}\right)^s a_{j_s} + \frac{5}{6} \left(\frac{1}{3}\right)^k + \left(2 \sum_{s=1}^k \left(\frac{1}{3}\right)^s b_{j_s} + \frac{\sqrt{3}}{6} \left(\frac{1}{3}\right)^k\right) i. \end{aligned} \quad (16)$$

设积分 $\int_{T_5} |\omega|^{-\alpha} \cos(\alpha \arg \omega) d\mu(\omega)$ 的 k 阶逼近为

$$\sum_{|J|=k} \int_{\sigma_J T_5} \frac{\cos(\alpha \arg \tau_J)}{|\tau_J|^\alpha} d\mu(\omega) = 6^{-k-1} \sum_{|J|=k} \frac{\cos(\alpha \arg \tau_J)}{|\tau_J|^\alpha} := c_1^{(k)}. \quad (17)$$

误差为

$$\begin{aligned}
 & \left| \int_{T_5} \frac{\cos(\alpha \arg \omega)}{|\omega|^\alpha} d\mu(\omega) - \sum_{|J|=k} \int_{\sigma_J T_5} \frac{\cos(\alpha \arg \tau_J)}{|\tau_J|^\alpha} d\mu(\omega) \right| \\
 &= \left| \sum_{|J|=k} \operatorname{Re} \int_{\sigma_J T_5} \omega^{-\alpha} d\mu(\omega) - \sum_{|J|=k} \operatorname{Re} \int_{\sigma_J T_5} \tau_J^{-\alpha} d\mu(\omega) \right| \\
 &\leq \alpha \sum_{|J|=k} \int_{\sigma_J T_5} \left| \int_{\tau_J}^{\omega} \xi^{-\alpha-1} d\xi \right| d\mu(\omega) \\
 &\leq 18^{-k-1} \alpha \sum_{|J|=k} |\sigma_J z_5|^{-\alpha-1} := \delta_1^{(k)}. \tag{18}
 \end{aligned}$$

类似于 (17) 与 (18) 式, 设积分 $\int_{T_4} |\omega|^{-\alpha} \cos(\alpha \arg \omega) d\mu(\omega)$ 和 $\int_{T_3} |\omega|^{-\alpha} \cos(\alpha \arg \omega) d\mu(\omega)$ 的 k 阶逼近与误差分别为 $c_2^{(k)}, c_3^{(k)}$ 与 $\delta_2^{(k)}, \delta_3^{(k)}$. 令

$$c^{(k)} = \frac{2\pi(1-\alpha)}{\sin(\alpha\pi)} (c_1^{(k)} + c_2^{(k)} + c_3^{(k)}/2), \quad \delta^{(k)} = \frac{2\pi(1-\alpha)}{\sin(\alpha\pi)} (\delta_1^{(k)} + \delta_2^{(k)} + \delta_3^{(k)}/2),$$

取 $k=7$, 通过 Mathematics 计算得 $c^{(7)} = 1.291298\dots$, $\delta^{(7)} = 0.00043107\dots$. 由 (15), (17) 与 (18) 式易知 $c^{(7)} - \delta^{(7)} < C < c^{(7)} + \delta^{(7)}$, 因此有

$$1.29085 < C < 1.29175.$$

证毕.

参 考 文 献

- [1] Lin X. S., Philosophically wandering through fractal, Beijing: Capital Normal University Press, 1999 (in Chinese).
- [2] Strichartz R. S., Fourier asymptotics of fractal measures, *J. Funct. Anal.*, 1990, **89**: 154–187.
- [3] Strichartz R. S., Self-similar measures and their Fourier transforms I, II, III, *Indiana Univ. Math. J.*, 1990, **39**: 797–817; *Trans. Amer. Math. Soc.*, 1993, **336**: 335–361; *Indiana Univ. Math. J.*, 1993, **42**: 367–411.
- [4] Strichartz R. S., Self-similarity in harmonic analysis, *J. Fourier Anal. Appl.*, 1994, **1**: 1–37.
- [5] Lau K. S., Wang J. R., Mean quadratic variations and Fourier asymptotics of self-similar measures, *Monatsh. Math.*, 1993, **115**: 99–123.
- [6] Lau K. S., Fractal measures and the mean p -variations, *J. Funct. Anal.*, 1992, **108**: 427–457.
- [7] Lund J. P., Strichartz R. S., Vinson J. P., Cauchy transforms of self-similar measures, *Exper. Math.*, 1998, **7**(3): 177–190.
- [8] Dong X. H., Lau K. S., An integral related to the Cauchy transform on the Sierpinski gasket, *Exp. Math.*, 2004, **13**(4): 415–419.
- [9] Dong X. H., Lau K. S., Cauchy transforms of self-similar measures: the Laurent coefficients, *J. Funct. Anal.*, 2003, **202**: 67–97.
- [10] Dong X. H., Cauchy transforms of self-similar measures, Ph.D Thesis, Department of Mathematics, The Chinese University of Hong Kong, 2002.
- [11] Falconer K. J., Fractal geometry-mathematical foundations and applications, New York: John Wiley & Sons, 1990.
- [12] Ahlfors L., Complex analysis, 3rd ed, New York: McGraw-Hill. 1979.